

# A Energia Mínima Irradiada na Criação de Distribuição Neutra de Cargas

The minimum energy irradiated for creating a neutral charge distribution

G.F. Leal Ferreira

*guilherm@if.sc.usp.br*

*Instituto de Física de São Carlos, USP*

*CP 369, 13560-970, SP. São Carlos*

Recebido em 04 de dezembro de 2001. Aceito em 26 de janeiro de 2001

Obtém-se a expressão da energia dipolar total irradiada na criação de uma distribuição neutra de cargas e propõe-se método do tipo variacional de Ritz para se obter a energia mínima. Esta é explicitamente obtida em aproximação de segunda ordem.

The expression of the total dipolar energy irradiated for the creation of a neutral charge distribution is obtained and a variational method of the Ritz type is proposed in order to derive the minimum energy. This is presently obtained in a second order calculation.

## I O problema

Cria-se uma distribuição neutra de cargas, de momento de dipolo não nulo. Qual a energia irradiada na sua formação dada uma escala de tempo, de que maneira a formação da distribuição deveria ser conduzida para que a energia irradiada fosse mínima? Procuraremos responder a estas perguntas no que segue.

## II O campo elétrico na região de radiação

O campo elétrico  $\vec{E}$  na região de radiação criada por um dipolo  $p$ , situado na origem e orientado ao longo do eixo  $z$ , pode ser obtido utilizando [1], mas sendo já conhecido da literatura [2], preferimos usá-lo desta. No ponto  $r$ , e coordenadas polares  $\varphi$ ,

$$\vec{E} = \frac{\ddot{p}(t - r/c)\text{sen}\varphi\hat{\varphi}}{c^2r} \quad (1)$$

sendo  $c$  a velocidade da luz.  $\ddot{p}$  significa a aceleração de  $p$  e a equação está escrita no sistema CGS. Para os nossos fins o retardo na Eq. 1 pode ser ignorado. Sendo  $\hat{r}$  o versor da direção radial, o campo magnético,  $\vec{B}$  é,

$$\vec{B} = \vec{E} \times \hat{r} \quad (2)$$

A potência irradiada pelo dipolo,  $P(t)$ , pode ser achada do vetor de Poynting integrado na esfera de raio  $r$ ,

$$P(t) = \frac{c}{4\pi} \oint \vec{B} \times \vec{E} da = \frac{2\ddot{p}^2}{3c^3} \quad (3)$$

A energia total irradiada  $W$  será a integral no tempo de  $P(t)$ . É intuitivo que devemos procurar funções  $p(t)$  analíticas se desejamos gastar menos energia na criação do dipolo. Para isso é preciso admitir, embora com certa irrealidade, que sua criação se dá entre  $-\infty$  e  $+\infty$ . Então

$$W = \frac{2}{3c^3} \int_{-\infty}^{+\infty} \dot{p}^2(t) dt \quad (4)$$

Além do mais, devemos fixar uma escala de tempo quando queremos comparar a energia irradiada por sistemas evoluindo com diferentes funções do tempo ao mesmo valor final do momento de dipolo. Por exemplo, seja  $p_1(t)$  dado por

$$p_1(t) = \frac{p_0}{2}(1 + \text{tgh}\gamma t) \quad (5)$$

com  $p_1(t)$  analítico e  $\gamma^{-1}$  fixando a escala de tempo. Usando esse  $p_1(t)$  na Eq. 4, obtém-se a energia  $W_1$

$$W_1 = \frac{2p_0^2}{3c^3} \gamma^3 A_1 \quad (6)$$

em que  $A_1$  é dado por

$$A_1 = \int_{-\infty}^{+\infty} (\text{sech } x)^5 (\text{senh } x)^2 dx = 0,267 \quad (7)$$

sendo  $A_1$  calculado no MathCad Plus 6.0. No Sistema MKS, o lado direito da Eq. 6 recebe o denominador  $4\pi\epsilon_0$ , sendo  $\epsilon_0$  a permissividade do vácuo.

Note-se que o fator  $\gamma^3$  na Eq. 6 vem do fato de se ter fixado a escala do tempo na definição do momento de dipolo como  $\gamma t$ . Se em vez da escolha como na Eq. 5, puséssemos em geral  $p(t) = p_0 g(\gamma t)$ , com  $g(-\infty) = 0$  e  $g(+\infty) = 1$ , obteríamos para a energia irradiada a Eq. 6 com  $A$ , em vez de  $A_1$ , dado por

$$A = \int_{-\infty}^{+\infty} \ddot{g}^2(x) dx \quad (8)$$

É claro que a Eq. 6, com  $A$  em vez de  $A_1$ , será a energia dipolar irradiada também para uma distribuição macroscópica neutra de cargas, daí haver interesse em saber qual seria a menor energia irradiada na formação da distribuição. Portanto, desejamos saber qual a função  $g_m(x)$  que minimiza  $A$  na Eq. 8.

### III Em busca da energia mínima

Em vez de usarmos a função  $g(x)$ , vamos usar a sua derivada  $f(x) = \dot{g}(x)$ . Com isso, temos que minimizar

$$A = \int_{-\infty}^{+\infty} \dot{f}^2(x) dx \quad (9)$$

sujeito à condição

$$\int_{-\infty}^{+\infty} f(x) dx = 1 \quad (10)$$

A equação de Euler [3] para Eq. 9 satisfazendo a Eq. 10 leva somente a soluções não normalizáveis, isto é, não funciona, e a razão disso ocorrer não foi esclarecida. Tomando outro caminho, vamos supor que desenvolvêssemos  $f(x)$  no conjunto completo das soluções do oscilador harmônico, que são funções finitas e definidas no intervalo  $-\infty, +\infty$ . A Eq. 9 estaria então expressa em função dos coeficientes do desenvolvimento e minimizar-se-ia  $A$ , sujeita à condição da Eq. 10 também expressa em termos dos coeficientes, em relação a cada um desses coeficientes. Na verdade trata-se do método de Ritz [4], e tomando-se número crescente de funções do conjunto completo aproximar-nos-íamos cada vez mais da solução exata. Aqui vamos nos limitar a tomar duas funções do conjunto de soluções do oscilador harmônico, correspondente a  $n = 0$  e  $2$  (já que  $f(x)$  deve ser par).

### IV Aproximação de 2a ordem

Seja então  $f(x)$  dada por

$$f(x) = b_0 \varphi_0(x) + b_2 \varphi_2(x) \quad (11)$$

em que  $b_0$  e  $b_2$  são coeficientes a determinar. A derivada de  $f(x)$  será

$$\dot{f}(x) = b_0 \dot{\varphi}_0(x) + b_2 \dot{\varphi}_2(x) \quad (12)$$

As funções de onda do oscilador são [5]

$$\varphi_n(x) = N_n \exp\left(-\frac{x^2}{2}\right) H_n(x) \quad (13)$$

em que  $H_n(x)$  são polinômios de Hermite e  $N_n$  fatores de normalização. Temos em geral

$$N_n = \left(\frac{1}{\pi^{1/2}} \frac{1}{2^n n!}\right)^{1/2} \quad (14)$$

As derivadas  $\varphi_n(x)$ , segundo a Eq. 13, conterão dois termos. O correspondente a  $H_n(x)$  pode ser expresso em função de  $H_{n-1}(x)$  [5], ou seja,

$$\dot{H}_n(x) = 2n H_{n-1}(x) \quad (15)$$

Com isto teremos  $\dot{\varphi}_0(x) = -x\varphi_0(x)$  e  $\dot{\varphi}_2(x) = -x\varphi_2(x) + \sqrt{2}\varphi_1(x)$  que devem ser introduzidas na Eq. 12 e quadradas para a obtenção de  $\dot{f}^2(x)$ . Em  $\dot{f}^2$  aparecem termos do tipo  $x^2\varphi_0^2$ ,  $x^2\varphi_0\varphi_2$ ,  $x\varphi_0\varphi_1$ ,  $x^2\varphi_2^2$ ,  $x\varphi_1\varphi_2$ , e  $\varphi_1^2$  tendo  $b_0^2$ ,  $b_0 b_2$  e  $b_2^2$  como possíveis coeficientes, que devem ser integrados como na Eq. 9. Estas integrais são conhecidas para quaisquer índices [6], dando, no nosso caso, respectivamente,  $1/2$ ,  $\sqrt{2}/2$ ,  $\sqrt{2}/2$ ,  $5/2$ ,  $1$  e  $1$ . Devemos agora minimizar  $A$  (Eq. 9), sujeita à Eq. 10, isto é, sendo  $\lambda$  um multiplicador de Lagrange, devemos minimizar  $I = A + \lambda \int_{-\infty}^{+\infty} f(x) dx$  em relação a  $b_0$  e  $b_2$ , coeficientes de  $f(x)$ . Feitas as contas, temos dá

$$I = \frac{b_0^2}{2} + b_0 b_2 (\sqrt{2} - 2) + b_2^2 \frac{9 - 4\sqrt{2}}{2} - \lambda (q_0 b_0 + q_2 b_2) \quad (16)$$

em que  $q_0$  e  $q_1$  são, respectivamente,  $q_0 = \int_{-\infty}^{+\infty} \varphi_0(x) dx = 1,883$  e  $q_2 = \int_{-\infty}^{+\infty} \varphi_2(x) dx = 1,331$ , valores obtidos por integração no MathCad. Achando-se  $\partial I / \partial b_0$  e  $\partial I / \partial b_2$  e igualando-os a zero, vê-se que  $b_0$  e  $b_2$  são proporcionais a  $\lambda$  e definindo  $b'_0$  e  $b'_2$  como  $b_0/\lambda$  e  $b_2/\lambda$ ,  $b'_0$  e  $b'_2$  podem ser determinados. O sistema gerado é

$$\begin{aligned} b'_0 &= -0,5858 b'_2 = 1,883 \\ -0,5858 b'_0 + 3,3432 b'_2 &= 1,331 \end{aligned} \quad (17)$$

fornecendo  $b'_0 = 2,358$  e  $b'_2 = 0,716$ . Usando-se agora a Eq. 10,  $\lambda$  é obtido  $\lambda = 0,1854$ . Retorna-se à Eq. 9 para a obtenção do valor mínimo de  $A$ , nesta aproximação, que é  $0,09102$ , inferior, portanto, ao valor fornecido pelo  $p_1(t)$  dado na Eq. 5. Retornamos agora à Eq. 15 e obtemos

$$f(x) = 0,1393 e^{-x^2/2} (1,852 + 1,0126 x^2) \quad (18)$$

que integrada de  $-\infty$  a  $+\infty$  dá efetivamente 1. O momento de dipolo normalizado a 1 seria

$$g(x) = \int_{-\infty}^x f(y)dy \quad (19)$$

Na Fig. 1 mostramos  $f(x)$ , Eq. 18, e  $f_1(x) = 0,5(\text{sech } x)^2$  correspondente à Eq. 5. Surpreendentemente  $f(x)$  apresenta um ligeiro mínimo em  $x = 0$ , talvez uma anomalia proveniente da aproximação de baixa ordem.

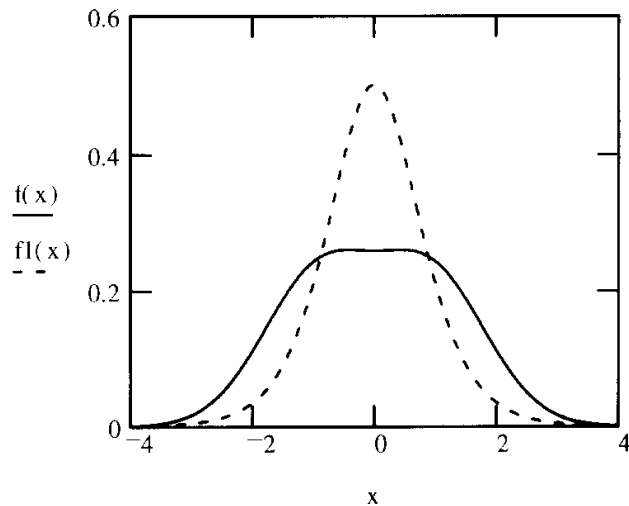


Figura 1. As derivadas no tempo normalizado do momento de dipolo da função tangente hiperbólica, Eq. 5, como  $f_1(x)$  e a de mínima energia, na aproximação de segunda ordem,  $f(x)$ , Eq. 18. Uma oscilação muito suave ocorre nas vizinhanças de  $x = 0$ , para  $f(x)$ .

## V Energia irradiada na carga de um condensador

Voltemos à Eq. 6 e estimemos a energia irradiada na carga a um potencial  $V$  de um condensador plano, capacidade  $C$ , carregado através de resistência  $R$ , fixando a escala de tempo em  $\gamma = 1/RC$ . Admitindo que  $A$  é cerca de 1, a energia  $W$  no sistema MKS será

$$W = \frac{k\nu V^2}{6\pi c^3 R^3 C^2} \quad (20)$$

em que  $k$  é a constante dielétrica do dielétrico usado no condensador e  $\nu$  o seu volume. Por exemplo, tomemos um condensador em que as placas estão separadas por uma folha de polímero de  $10 \mu\text{m}$ , com área de  $10 \text{ cm}^2$ ,  $k = 2$ . Sua capacidade será cerca de  $2 \times 10^{-9} \text{ F}$ . Se  $V = 1 \text{ kV}$ , a energia eletrostática,  $1/2CV^2$ , será  $10^{-3} \text{ J}$ . A energia irradiada, pela Eq. 20, seria  $5 \times 10^{-12}/R^3 \text{ J}$ . Mesmo que  $R$  fosse  $0,1 \Omega$ , com  $RC = 2 \times 10^{-10} \text{ s}$ , a energia irradiada teria sido 5 milionésimos da energia eletrostática. Na verdade, a estimativa da energia irradiada na carga do condensador através de uma resistência - processo que não é suficientemente suave no início - valeria para o resto do processo.

## VI Conclusões

A Fig. 1 mostra que para irradiar a menor energia, a aceleração e a desaceleração (derivadas de  $f(x)$ ) se concentram em duas regiões do tempo entre as quais ela é praticamente nula (entre aproximadamente -1 e +1). Os números da seção anterior mostram quão pequena é a energia irradiada em comparação com a eletrostática armazenada.

### Agradecimentos

O autor agradece ao CNPq a bolsa de produtividade.

## References

- [1] G.F. Leal Ferreira, Ver. Bras. Ens. Fís., **20**, 201 (1998).
- [2] R.P. Feynman, R.B. Leighton e M. Sands, *The Feynman Lectures*, Vol. 1, Addison- Wesley, Reading (1966).
- [3] L.E. Elsgolc, *Calculus of Variations*, Pergamon Press e Addison-Wesley, Londres e Reading, respectivamente, (1962).
- [4] Ref. 3, Cap. V.
- [5] L. Pauling e E.B. Wilson Jr. *Introduction to Quantum Mechanics*, McGraw-Hill Book, Nova York (1935) Cap. III.
- [6] E. Durand, *Mécanique Quantique*, Vol. 1, Masson, Paris (1970) Cap.7.